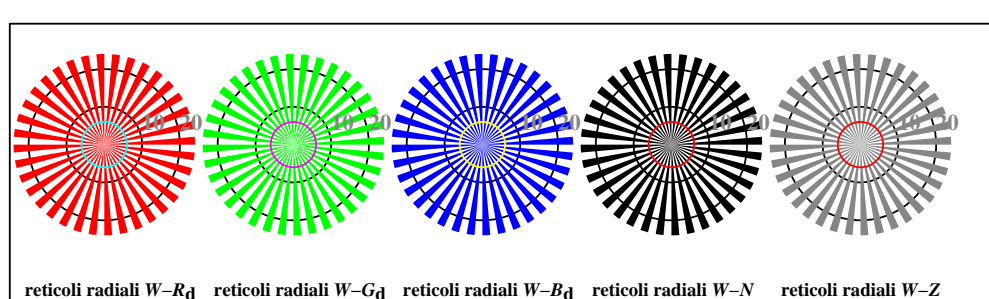
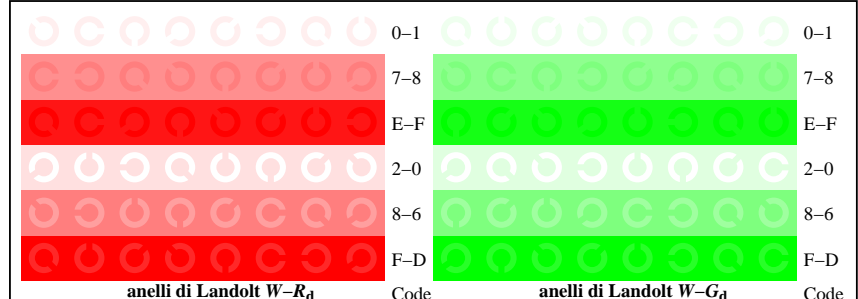


TI821-1, Fig. D4Wd: 16 equidistant passi $W-R_d$; $W-G_d$; $W-B_d$; $W-N$; $rgb/cmy0 \rightarrow rgb_d$ setrgbcolor

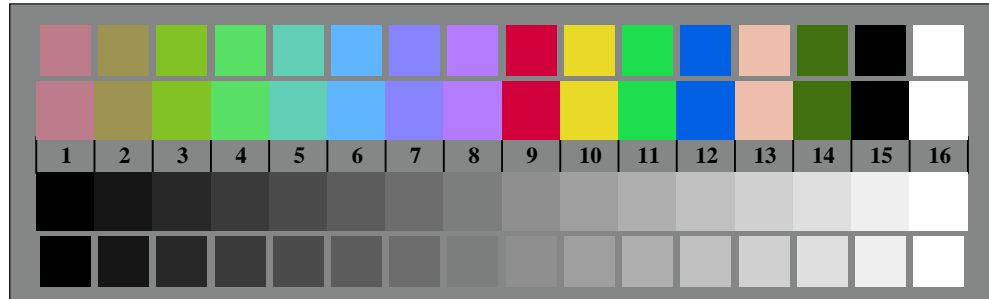
TI821-3, Fig. D5Wd: codice i Landolt anelli N ; R_d ; G_d ; B_d ; Z ; PS operator $rgb \rightarrow rgb_d$ setrgbcolor



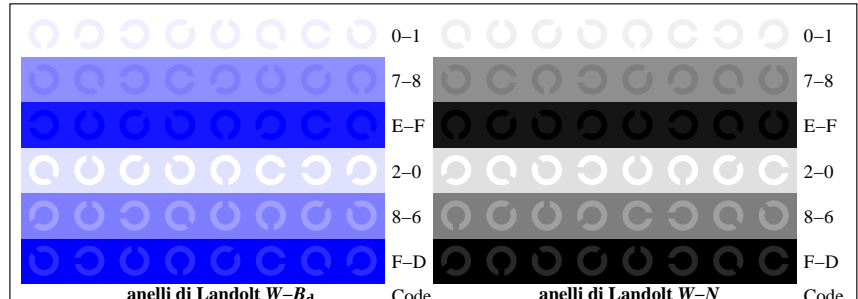
TII20-5. Fig. D2Wd: reticolli radiali $W-R_A$; $W-G_A$; $W-B_A$; $W-N$; PS operator $reb \rightarrow reb_{\text{setrgbcolor}}$



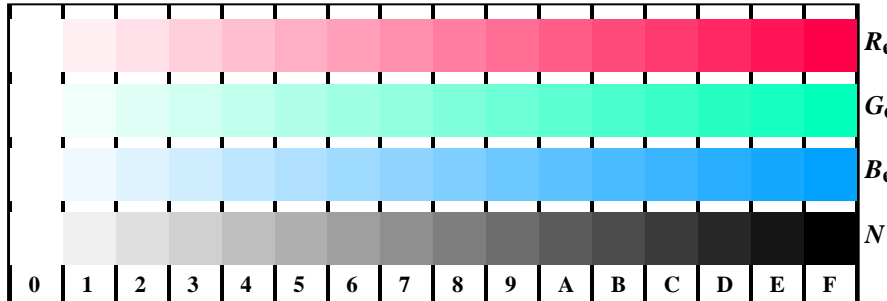
TI821-5, Fig. D6Wd: anelli di Landolt $W-R_d$; $W-G_d$; PS operator $rgb \rightarrow rgb_d$ setrgbcolor



TI820-7, Fig. D3Wd: 14 prova colori CIE i 2 + 16 grigio passi (sf); $rgb/cmy0 \rightarrow rgb_d$ setrgbcolor

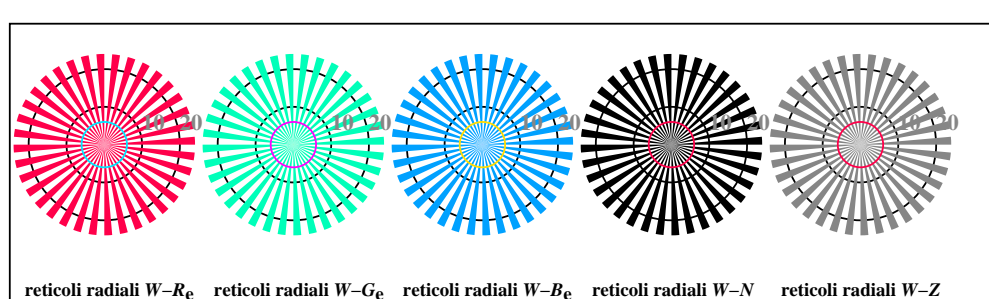


TI821-7, Fig. D7Wd: anelli di Landolt $W-B_d$; $W-N$; PS operator $rgb \rightarrow rgb_d$ setrgbcolor

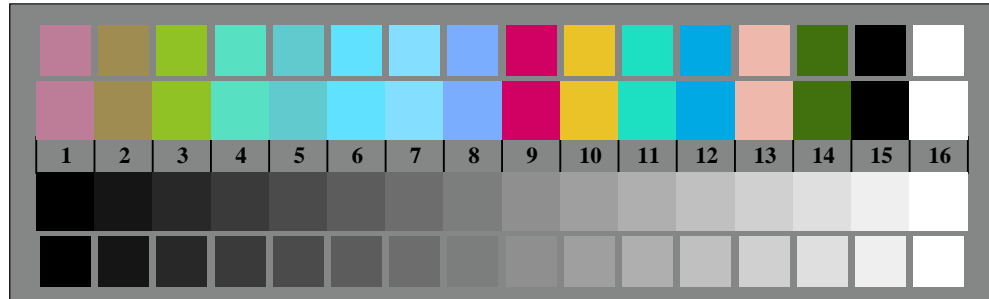


TI821-1, Fig. D4We: 16 equidistant passi $W-Re$; $W-Ge$; $W-Be$; $W-N$; $rgb/cmy0->rgb_e$ setrgbcolor

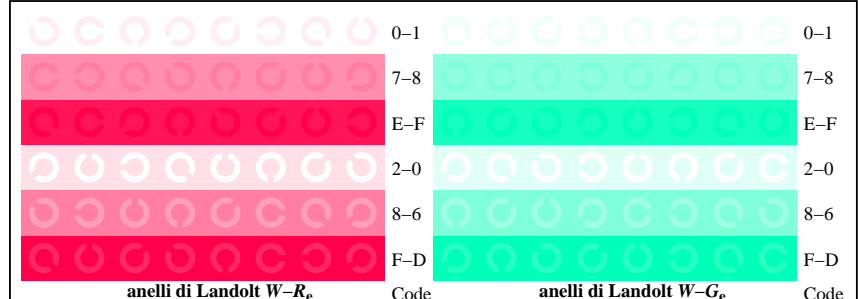
TI821-3, Fig. D5We: codice i Landolt anelli N ; R_e ; G_e ; B_e ; Z ; PS operator $rgb \rightarrow rgb_e$ setrgbcolor



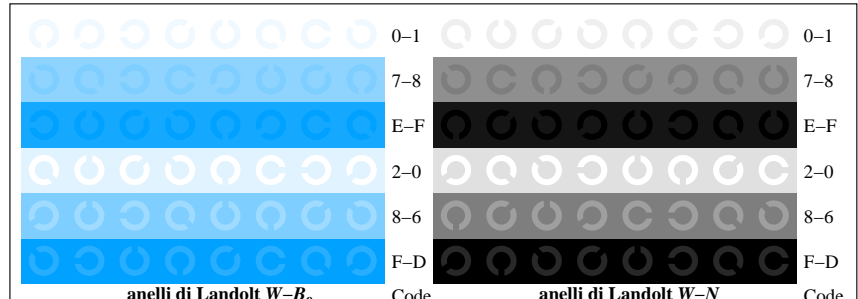
TI820-5, Fig. D2We: reticolli radiali $W-Re$; $W-Ge$; $W-Ba$; $W-N$; PS operator $rgb \rightarrow rgb_e$ setrgbcolor



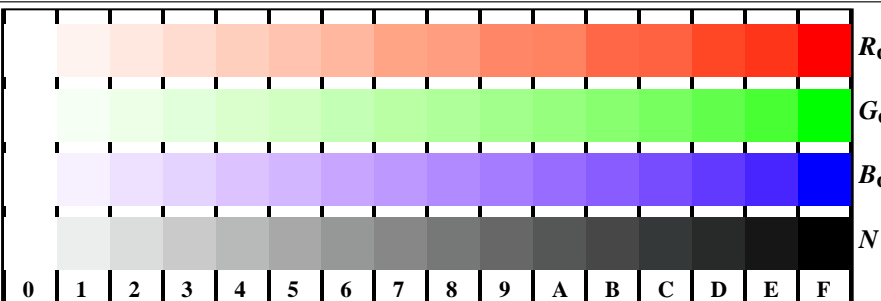
TI820-7, Fig. D3We: 14 prova colori CIE i 2 + 16 grigio passi (sf); $rgb/cmy0 \rightarrow rbg_e$ setrgbcolor



TI821-5, Fig. D6We: anelli di Landolt $W-R_E$; $W-G_E$; PS operator $rgb \rightarrow rgb_E$ setrgbcolor

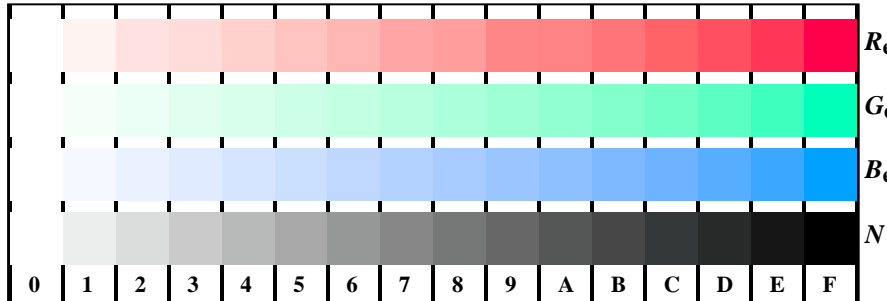


TI821-7, Fig. D7We: anelli di Landolt $W-B_e$; $W-N$; PS operator $rgb \rightarrow rgb_e$ setrgbcolor



TI821-1, Fig. D4Wdd: 16 equidistante passi $W-R_d; W-G_d; W-B_d; W-N$; $rgb/cmy0 \rightarrow rgb_{dd}$ setrgbcolor

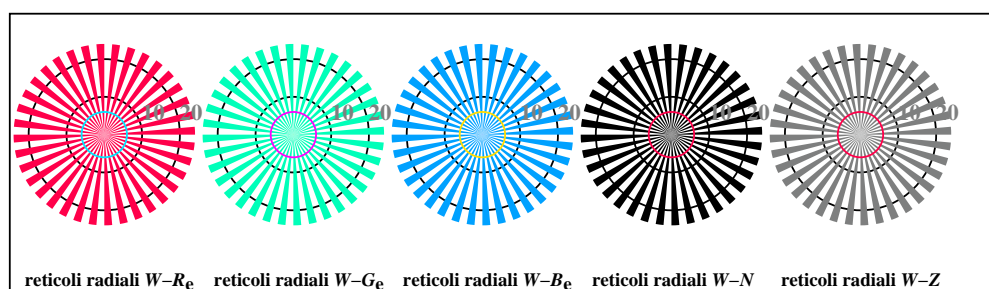
+-.:					lmno					pqrs					uvwxyz;					lmno					defg					!abc					+-.:					xyz;					uvwxyz;					lmno					defg					!abc					uvwxyz;					lmno					defg					!abc					+-.:					uvwxyz;					uvwxyz;					lmno					defg					!abc					uvwxyz;					lmno					defg					!abc					uvwxyz;					lmno					defg					!abc					uvwxyz;					lmno					defg					!abc					uvwxyz;					lmno					defg					!abc					uvwxyz;					lmno					defg					!abc					uvwxyz;					lmno					defg					!abc					uvwxyz;					lmno					defg					!abc					uvwxyz;					lmno					defg					!abc					uvwxyz;					lmno					defg					!abc					uvwxyz;					lmno					defg					!abc					uvwxyz;					lmno					defg					!abc					uvwxyz;					lmno					defg					!abc					uvwxyz;					lmno					defg					!abc					uvwxyz;					lmno					defg					!abc					uvwxyz;					lmno					defg					!abc					uvwxyz;					lmno					defg					!abc					uvwxyz;					lmno					defg					!abc					uvwxyz;					lmno					defg					!abc					uvwxyz;					lmno					defg					!abc					uvwxyz;					lmno					defg					!abc					uvwxyz;					lmno					defg					!abc					uvwxyz;					lmno					defg					!abc					uvwxyz;					lmno					defg					!abc					uvwxyz;					lmno					defg					!abc					uvwxyz;					lmno					defg					!abc					uvwxyz;					lmno					defg					!abc					uvwxyz;					lmno					defg					!abc					uvwxyz;					lmno					defg					!abc					uvwxyz;					lmno					defg					!abc					uvwxyz;					lmno					defg					!abc					uvwxyz;					lmno					defg					!abc					uvwxyz;					lmno					defg					!abc					uvwxyz;					lmno					defg					!abc					uvwxyz;					lmno					defg					!abc					uvwxyz;					lmno					defg					!abc					uvwxyz;					lmno					defg					!abc					uvwxyz;					lmno					defg					!abc					uvwxyz;					lmno					defg					!abc					uvwxyz;					lmno					defg					!abc					uvwxyz;					lmno					defg					!abc					uvwxyz;					lmno					defg					!abc					uvwxyz;					lmno					defg					!abc					uvwxyz;					lmno					defg					!abc					uvwxyz;					lmno					defg	



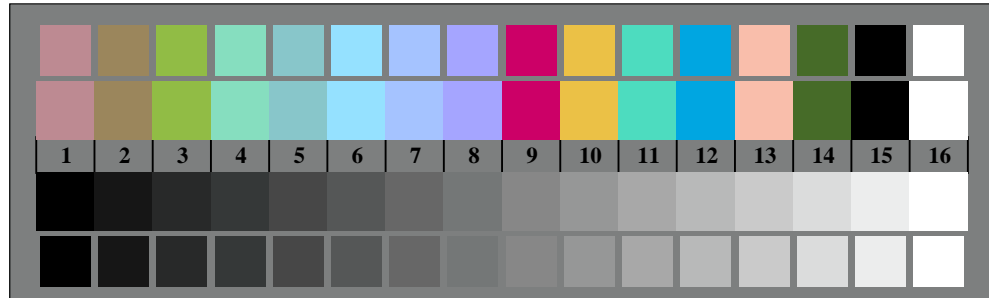
TI821-1, Fig. D4Wde: 16 equidistant passi $W-R_E$; $W-G_E$; $W-B_E$; $W-N$; $rgb/cm\gamma 0 \rightarrow rgb_{de}$ setrgbcolor

+:-.	Q	O	O	O	O	O	lmno	O	O	O	O	O	pqrs	O	O	O	O	O	tuvw	O	O	O	O	O
xyz;	O	O	O	O	O	O	hijk	O	O	O	O	O	lmno	O	O	O	O	O	pqrs	O	O	O	O	O
tuvw	O	O	O	O	O	O	defg	O	O	O	O	O	hijk	O	O	O	O	O	lmno	O	O	O	O	O
pqrs	O	O	O	O	O	O	!abc	O	O	O	O	O	!abc	O	O	O	O	O	xyz;	O	O	O	O	O
lmno	O	O	O	O	O	O	+:-.	O	O	O	O	O	+:-.	O	O	O	O	O	tuvw	O	O	O	O	O
hijk	O	O	O	O	O	O	xyz;	O	O	O	O	O	xyz;	O	O	O	O	O	defg	O	O	O	O	O
defg	O	O	O	O	O	O	tuvw	O	O	O	O	O	tuvw	O	O	O	O	O	!abc	O	O	O	O	O
!abc	O	O	O	O	O	O	pqrs	O	O	O	O	O	pqrs	O	O	O	O	O	!abc	O	O	O	O	O
10	N	R _e	G _e	B _e	Z								8	N	R _e	G _e	B _e	Z	6	N	R _e	G _e	B _e	Z

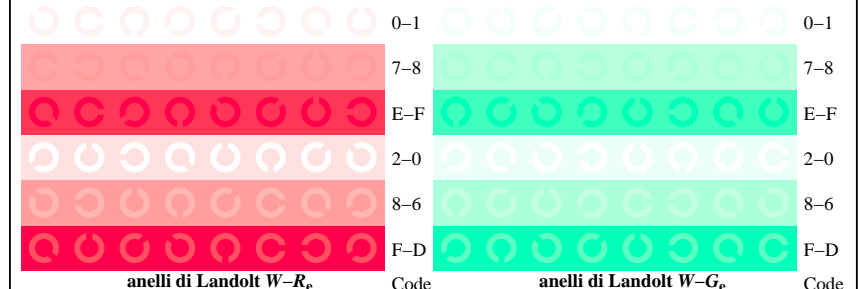
TI821-3, Fig. D5Wde: codice i Landolt anelli N ; Re ; G_e ; Be ; Z ; PS operator $rgb \rightarrow rgb_{de}$ setrgbcolor



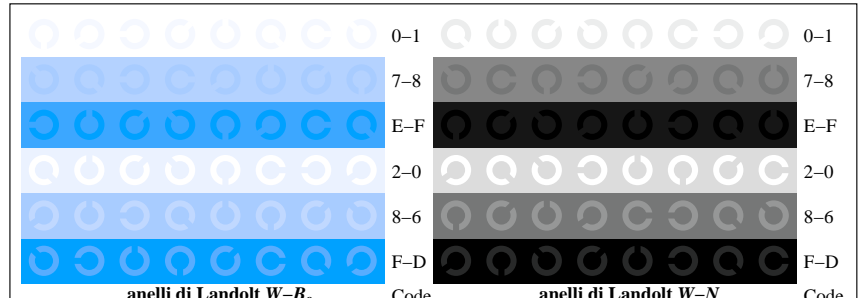
TI1820-5, Fig. D2Wde: reticolli radiali $W-R_E$; $W-G_E$; $W-B_E$; $W-N$; PS operator $rgb \rightarrow rgb_{de}$ setrgbcolor



TI820-7, Fig. D3Wde: 14 prova colori CIE i 2 + 16 grigio passi (sf); $rgb/cmy0 \rightarrow rgb_{de} setrgbcolor$



TI821-5, Fig. D6Wde: anelli di Landolt $W-R_E$; $W-G_E$; PS operator $rgb \rightarrow rgb_{de}$ setrgbcolor



TI821-7, Fig. D7Wde: anelli di Landolt W-Be; W-N; PS operator $rgb \rightarrow rgb_{de}$ setrgbcolor